

FIG. 1(a)

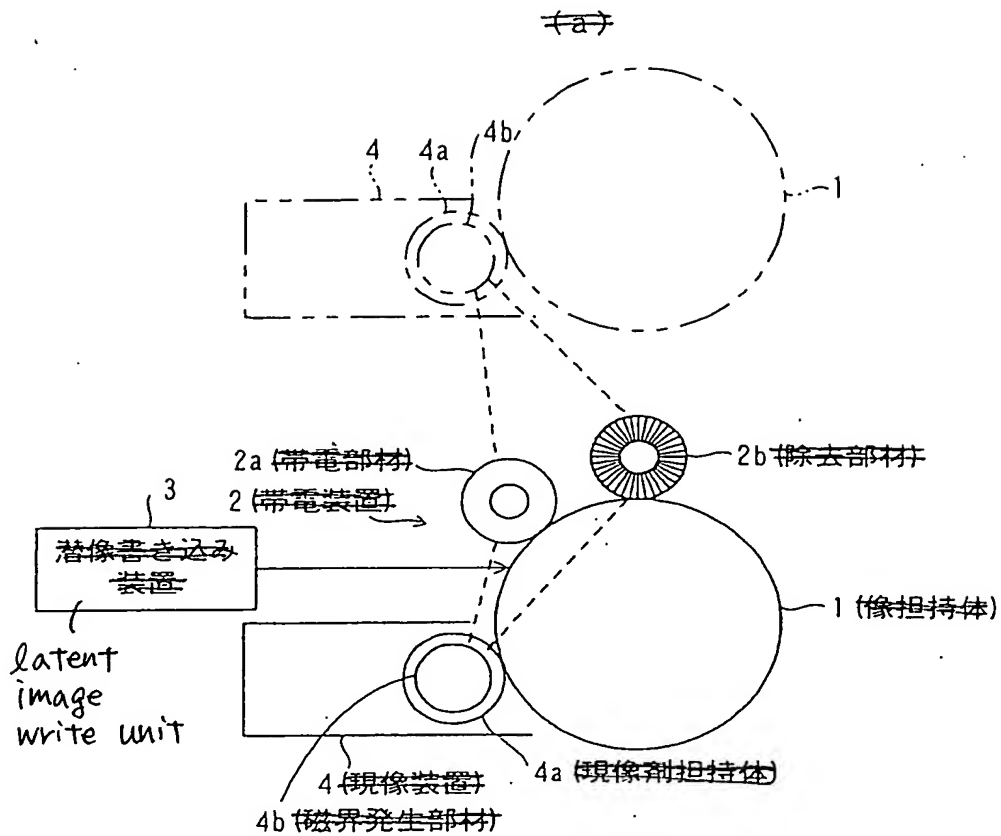


FIG. 1(b)

(b)

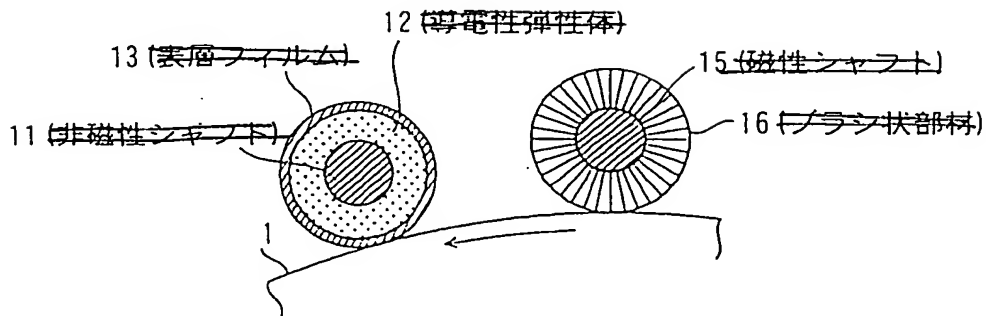
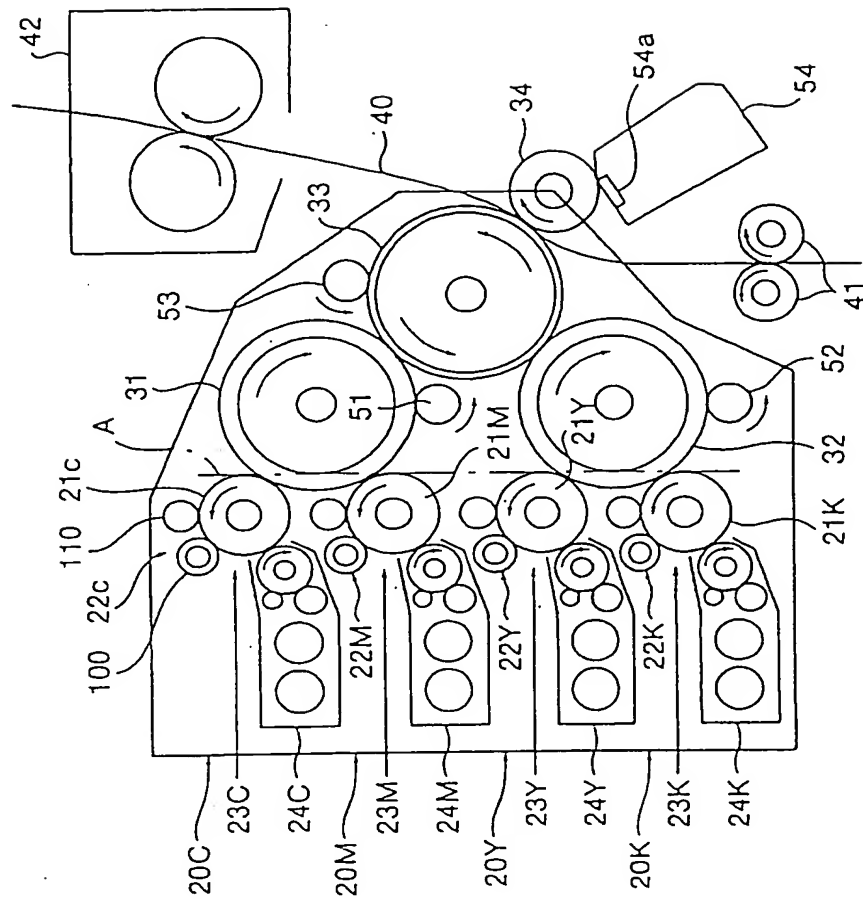
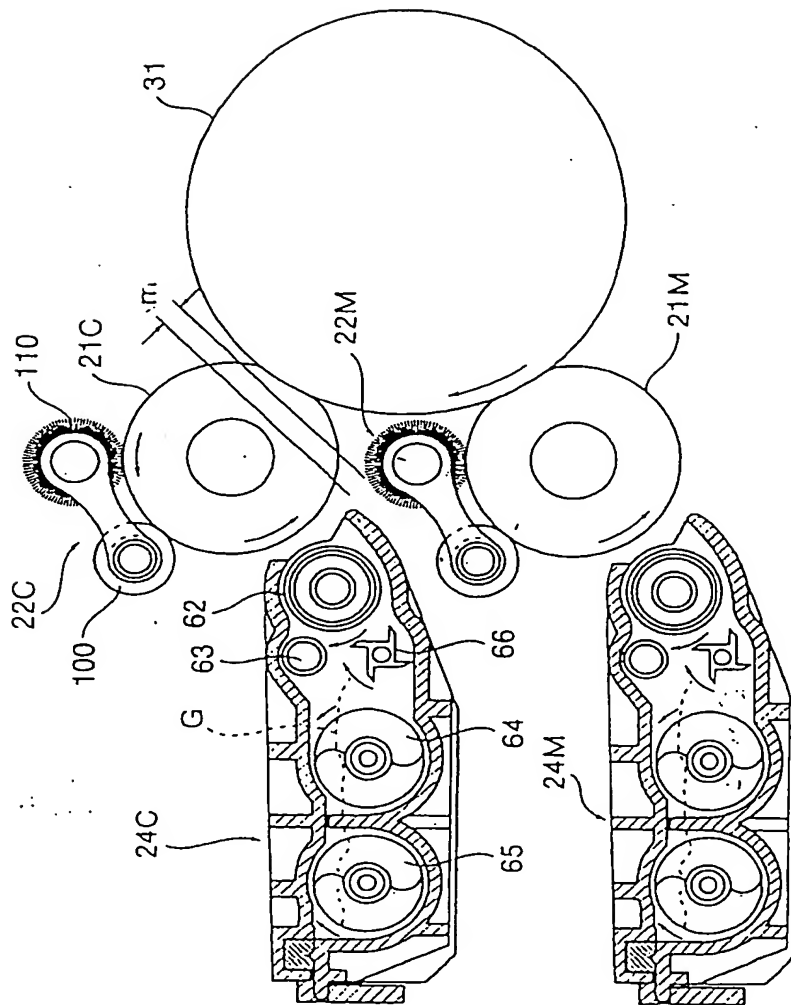


Fig. 2



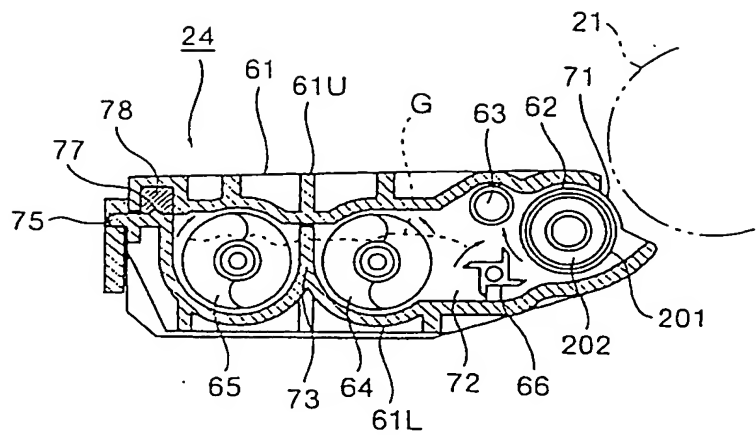
3/32

FIG: 3



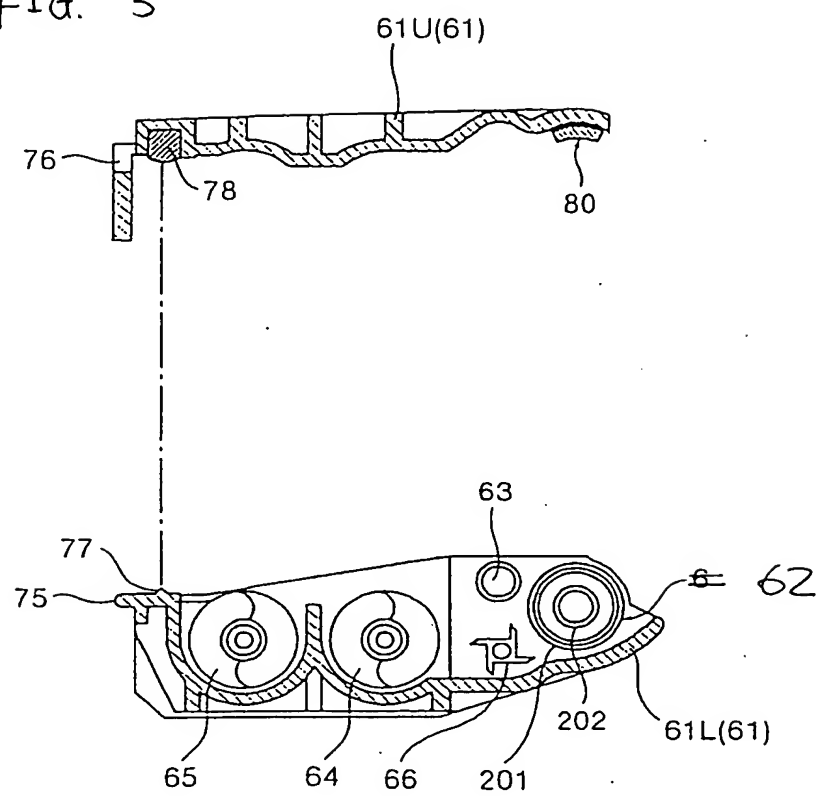
4/32

FIG. 4



5/32

FIG. 5



6/32

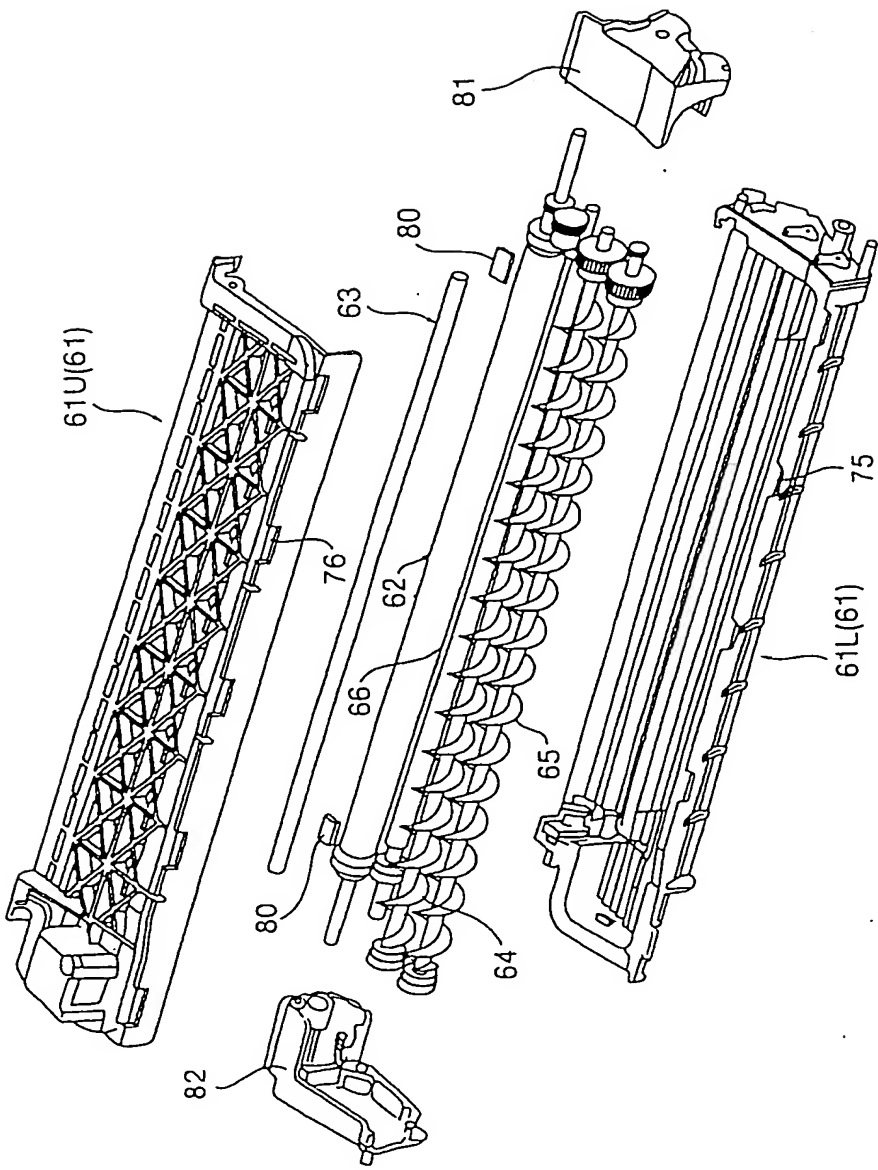
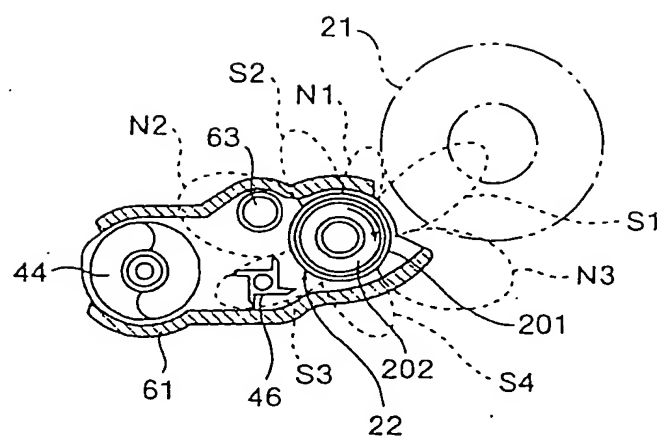


FIG. 6

7/32

FIG. 7



8/32

FIG. 8(a)

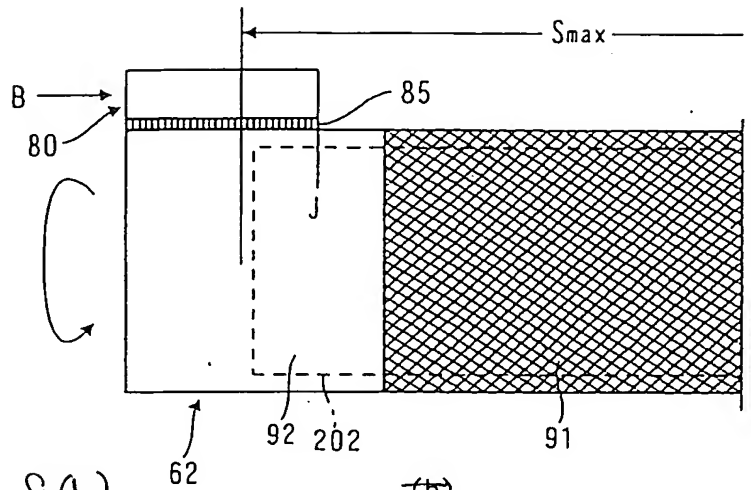


FIG 8(b)

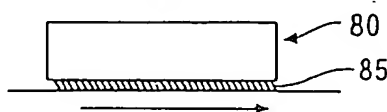


FIG 9

FIG. 9(a)

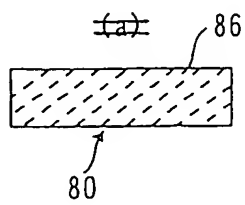


FIG. 9(b)

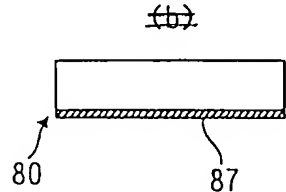
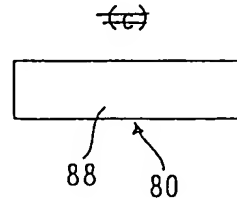


FIG. 9(c)



9/32

FIG. 10 (a)

(a) 実施の形態モデル

model according to first embodiment

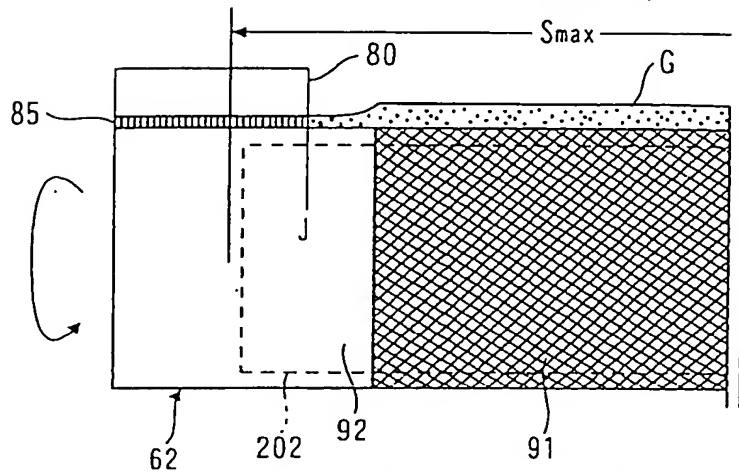
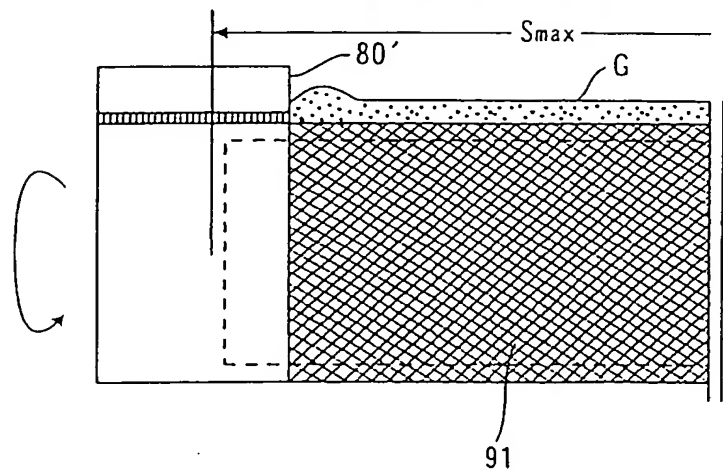


FIG. 10 (b)

(b) 比較の形態モデル

comparative model



10/32

FIG. 11(a)

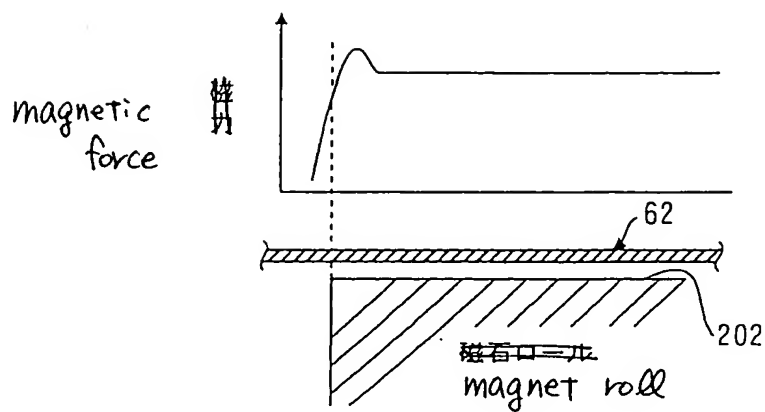
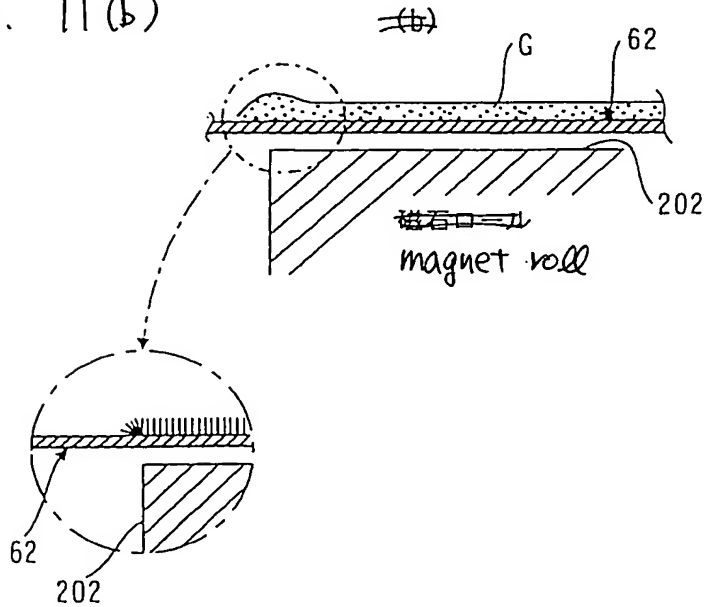


FIG. 11(b)



11/32

FIG. 12 (a) 

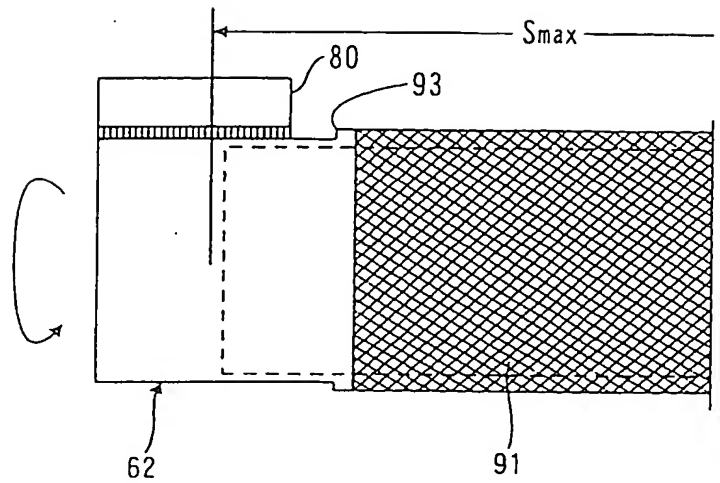
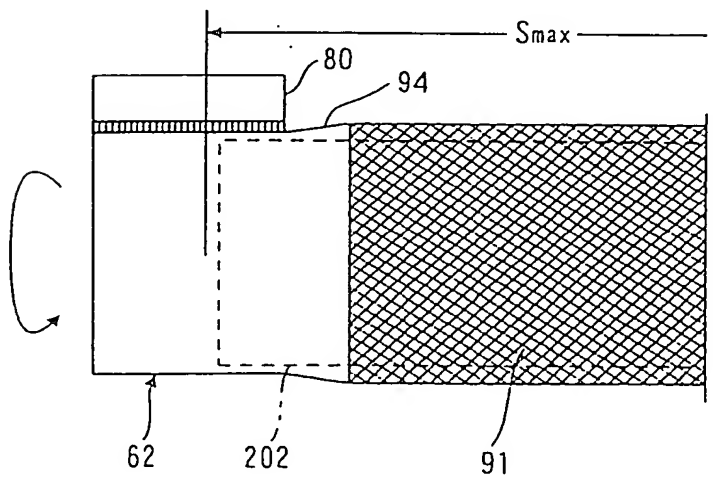


FIG. 12 (b) 



12/32

Fig. 13

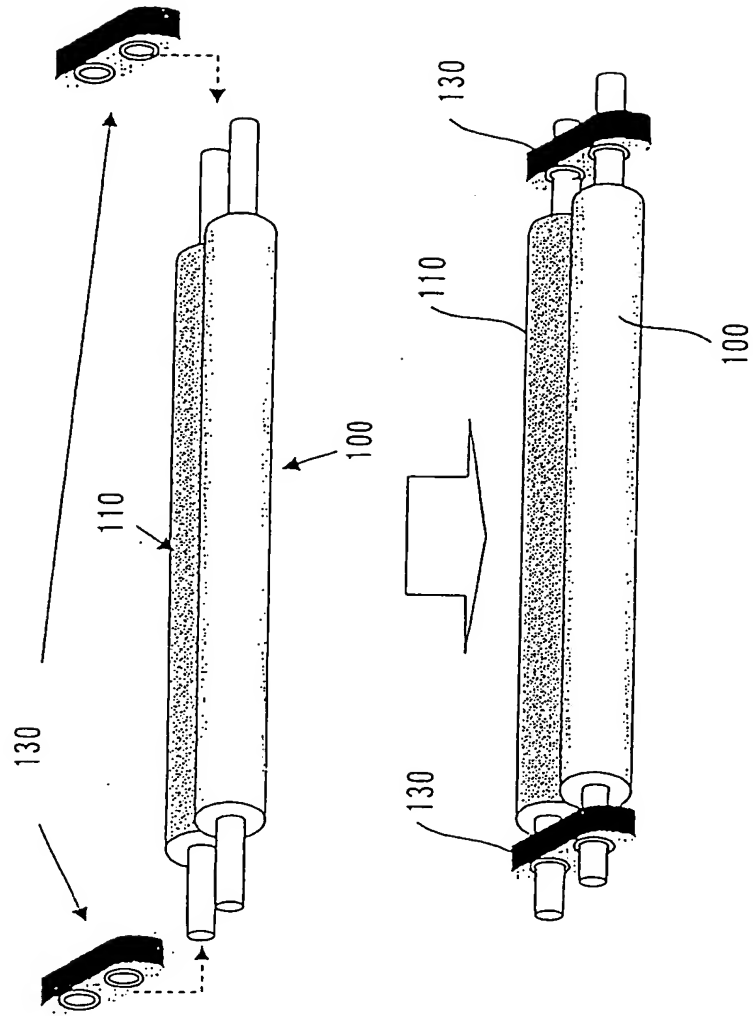


FIG. 14(a)

13/32

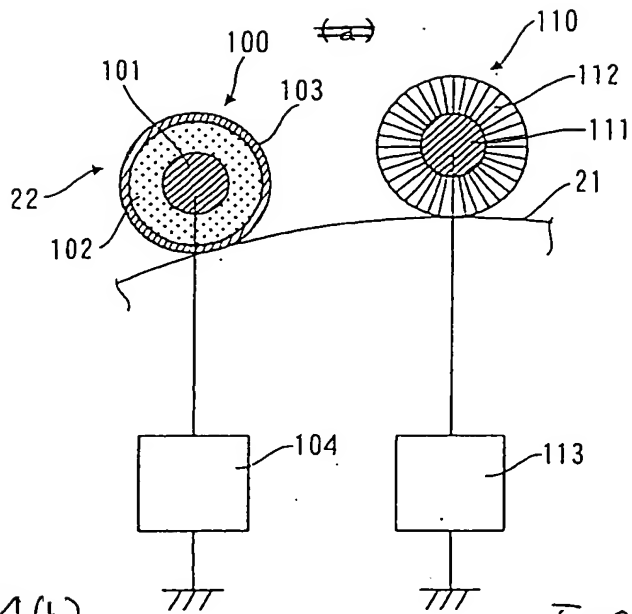


FIG. 14(b)

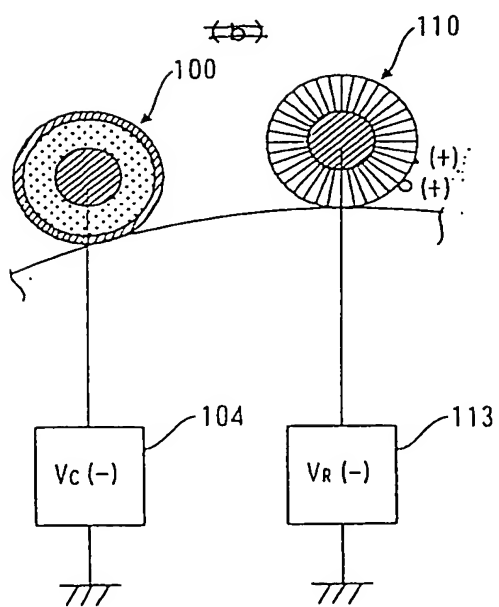


FIG. 14(c)

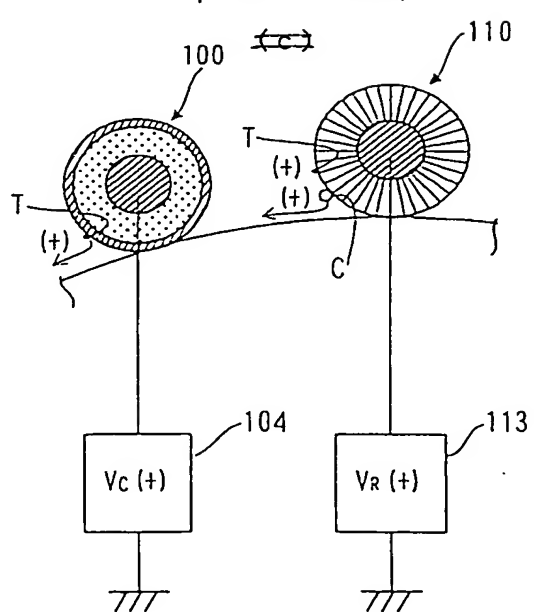


FIG. 15 (a)

end part spot caused by ~~BCO~~/carrier scatter

● ~~BCO~~ キャリア飛散による端部斑点

paper end part position

		用紙 端部位置	用紙端部-プラスチック端部 距離		
薄層塗装制 位置-プラスチ ク端部距離	0mm		3mm	4mm	5mm
	1mm	-	△	○	○
	2mm	-	△	○	○

distance  
between  
thin layer  
area  
regulation  
position  
and  
blast  
end  
part

FIG. 15 (b) fogging at upper end part of photoconductor drum

● 感光体ドラム上端部の霧

paper end part position

		用紙 端部位置	用紙端部-プラスチック端部 距離		
薄層塗装制 位置-プラスチ ク端部距離	0mm		3mm	4mm	5mm
	1mm	-	△	○	○
	2mm	-	○	○	○

\* ブラストロードヤットタクル フラッシュ

FIG. 15 (c) dirty level of driver gear in periphery of developing roll end part

● 駆動ギヤル端部周辺駆動ギヤル端部の汚染度

		用紙 端部位置	用紙端部-プラスチック端部 距離		
薄層塗装制 位置-プラスチ ク端部距離	0mm		3mm	4mm	5mm
	1mm	-	○	○	○
	2mm	-	○	○	○

↓ shutdown during print,  
tape transfer

15/32

Fig. 16

charging shaft

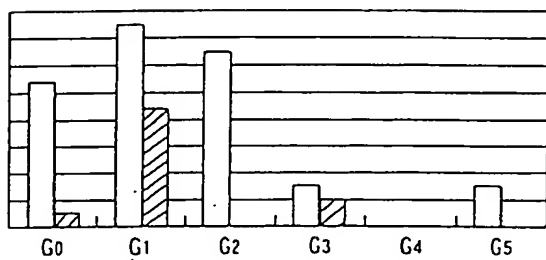
~~带电~~: SUM

~~带电~~: SUM

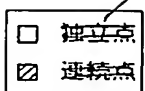
refresher shaft

B K G ~~带电~~ spot

occurrence  
ratio



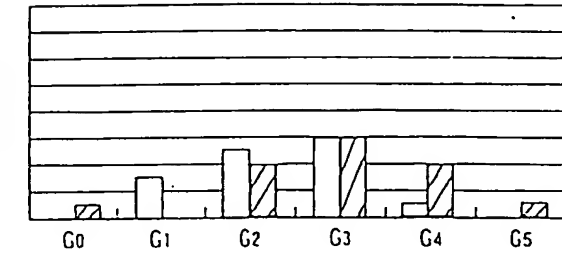
independent  
spots



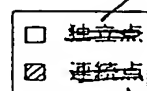
continuous  
spots

occurrence  
ratio

I M G ~~带电~~ spot



independent  
spots

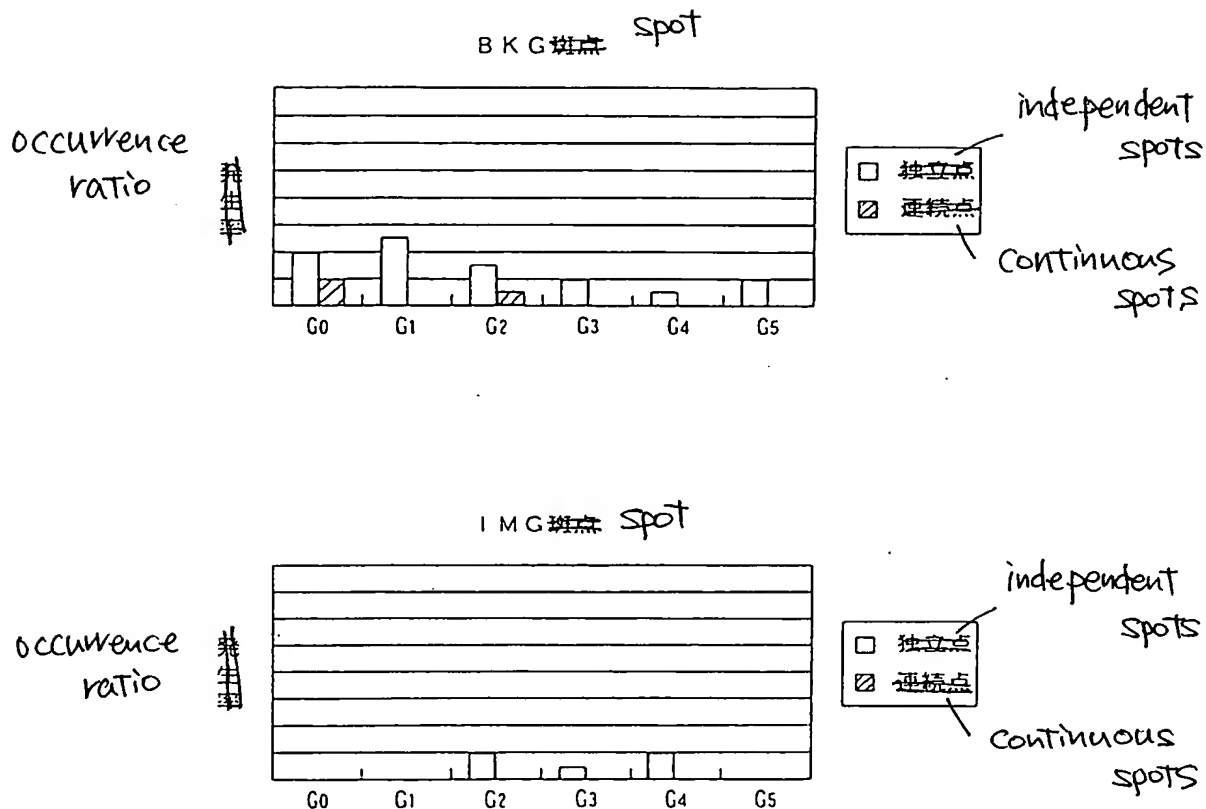


continuous  
spots

16/32

FIG. 17

charging shaft  
~~電極シャフト~~: SUS 303 Cu  
~~リフレッシャシャフト~~: SUM  
refresher shaft



17/32

Fig. 18

charging shaft

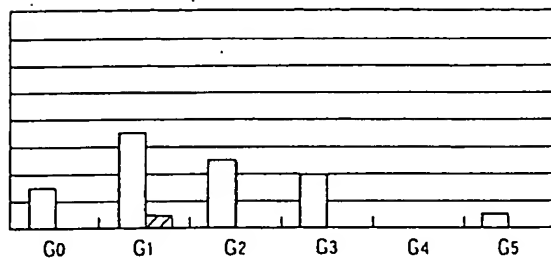
~~サスペンション~~: SUS 303 Cu

~~リフレッシャー~~: SUS 303 Cu  
refresher shaft

spot

B K G 斑点

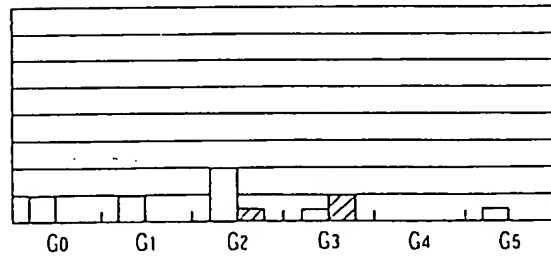
occurrence  
ratio



independent  
spots

continuous  
spots

occurrence  
ratio

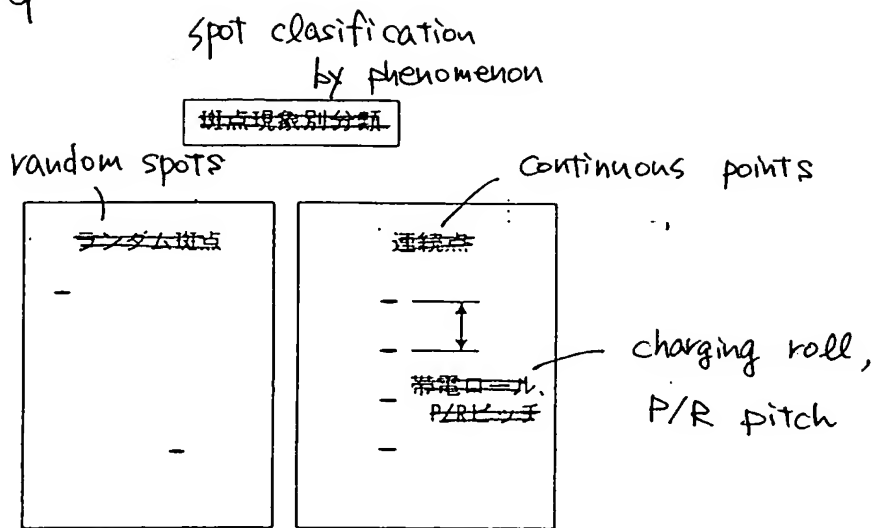


independent spots

continuous  
spots

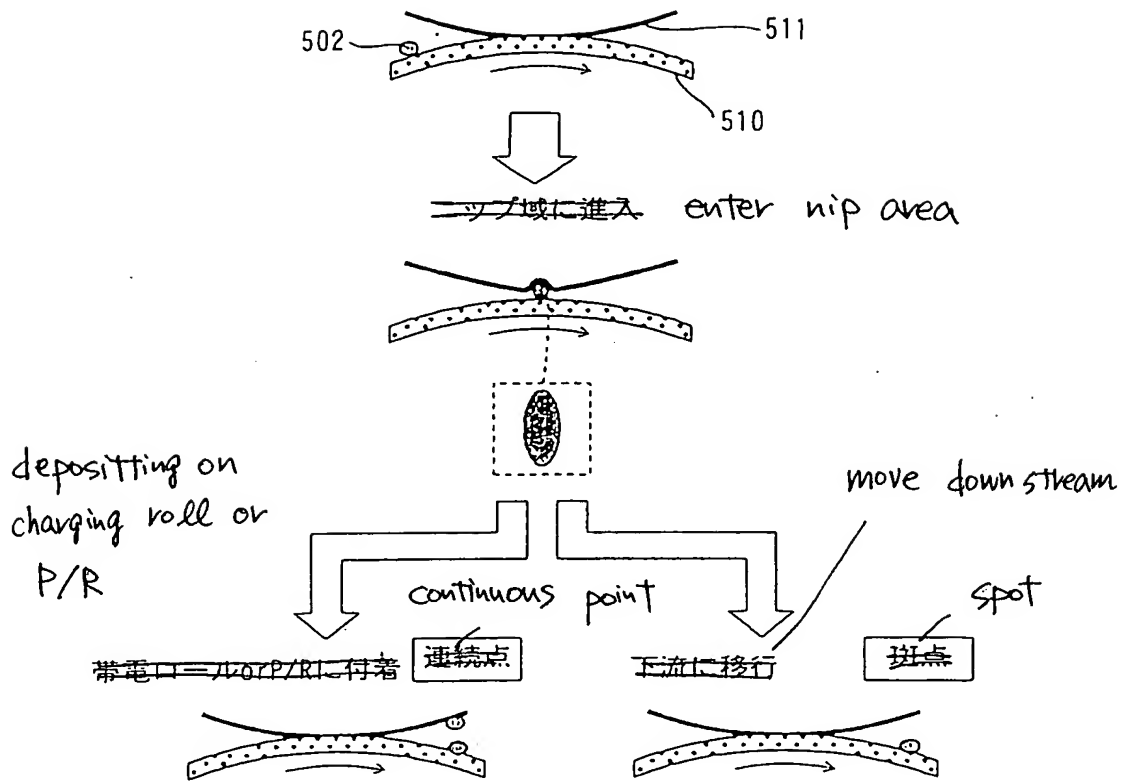
18/32

FIG. 19



19/32

FIG. 20



20/32

~~図21~~ FIG. 21 (a)

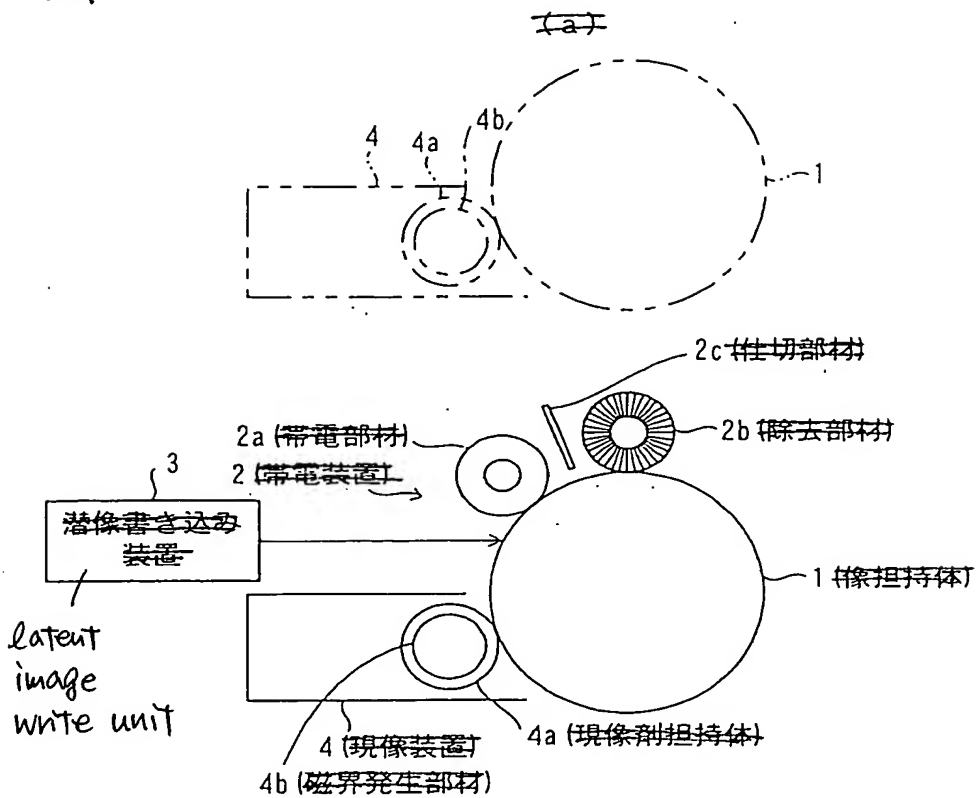
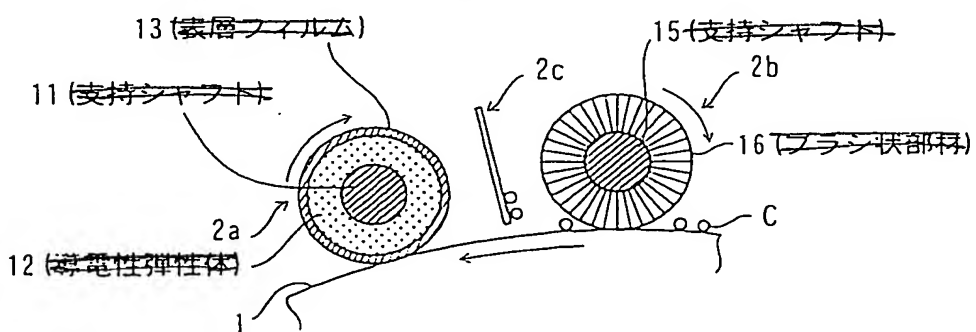


FIG. 21 (b)



21/32

22 FIG. 22 (a)

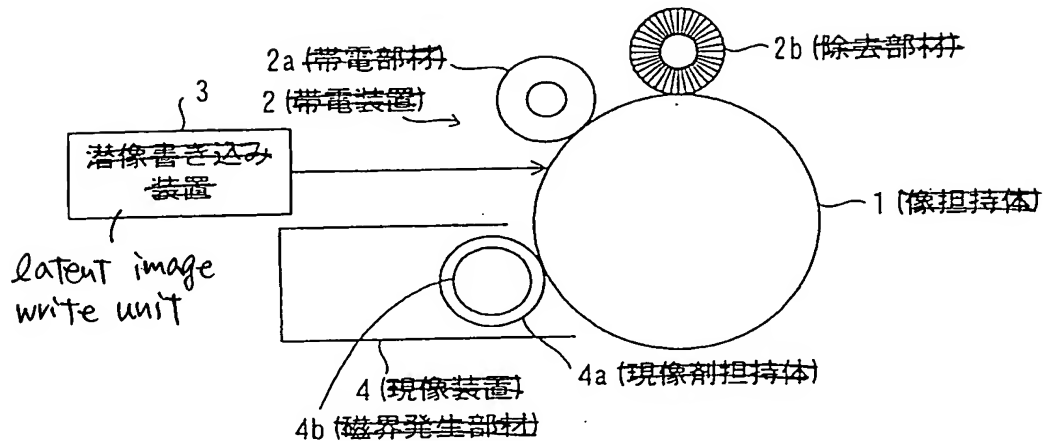
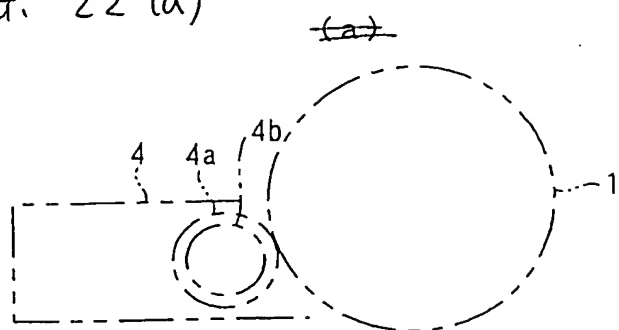
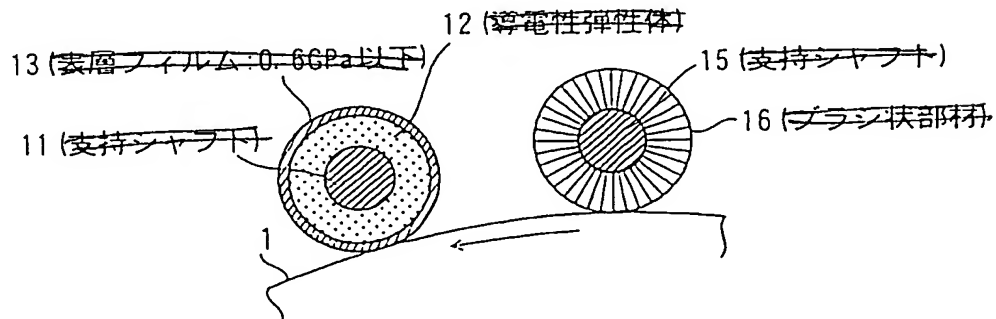
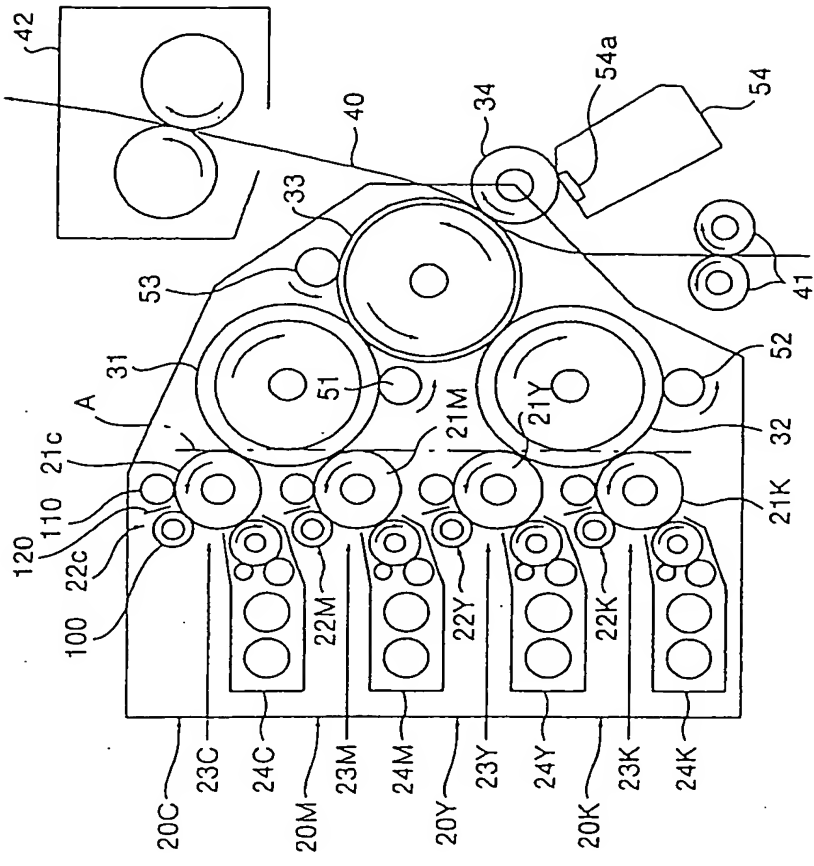


FIG. 22 (b)



22/32

Fig. 23



23/32

Fig. 24

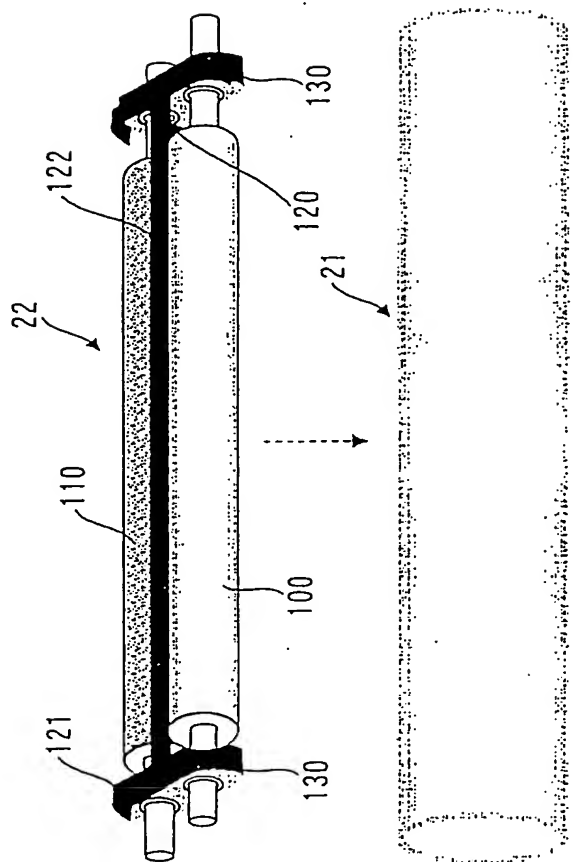


Fig. 25(a)

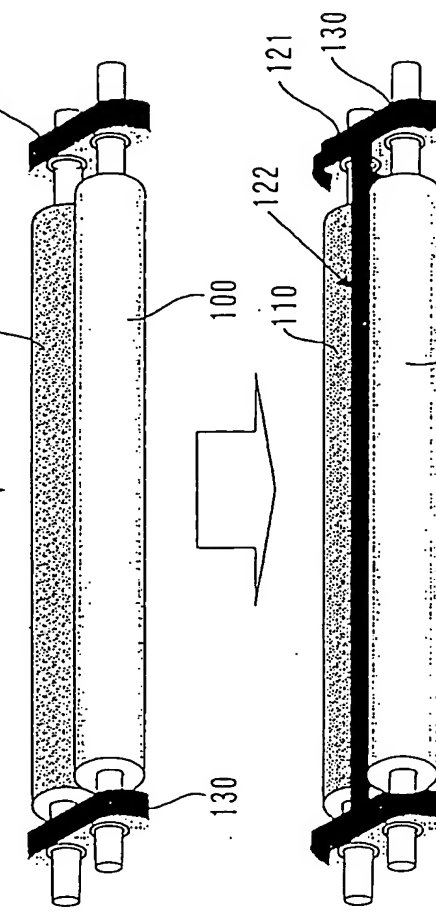
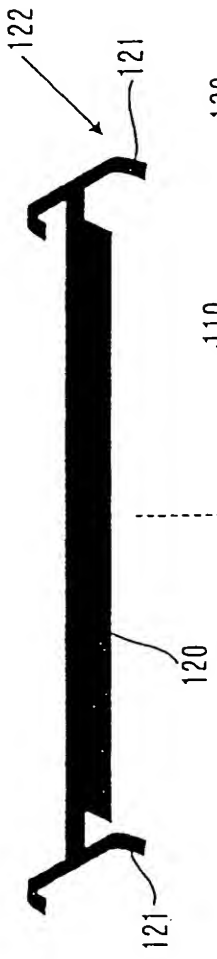
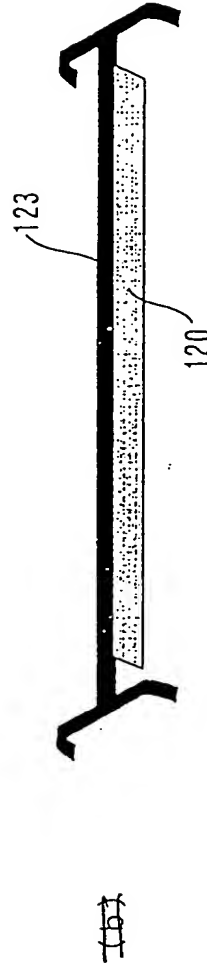


Fig. 25 (b)



24/32

25/32

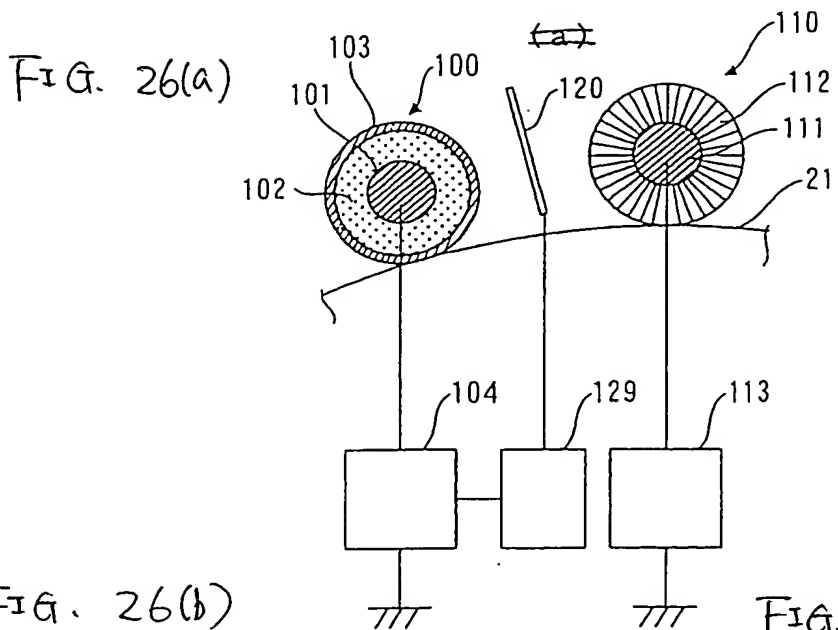


FIG. 26(b)

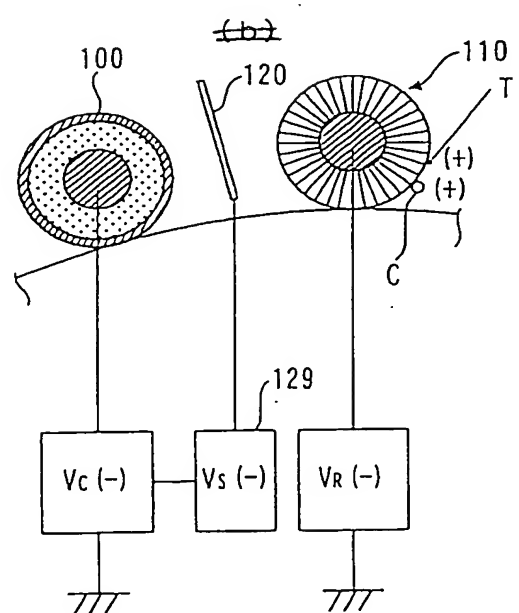
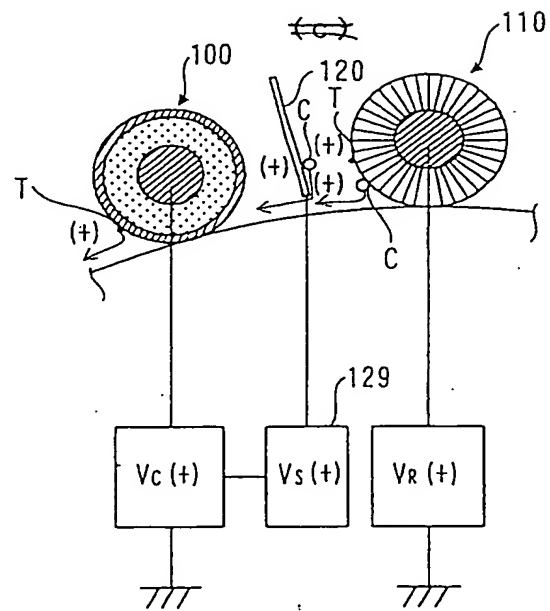


FIG. 26(c)



26/32

FIG. 27 (a)

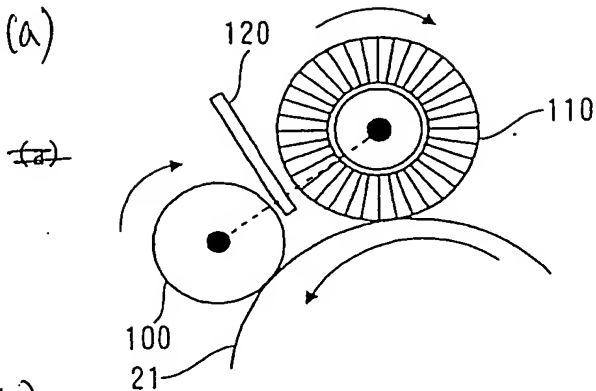


FIG. 27 (b)

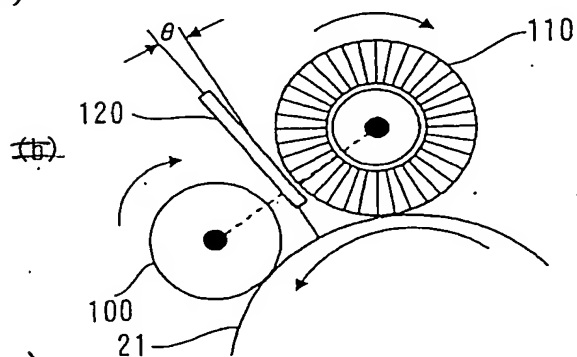
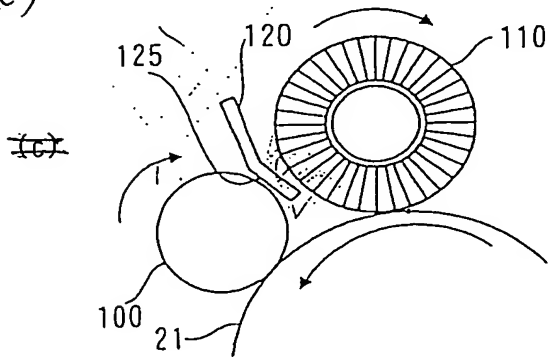


FIG. 27 (c)



27/32

FIG. 28(a)

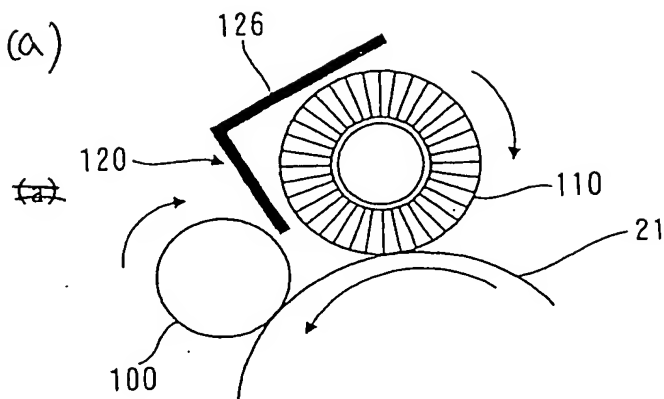


FIG. 28(b)

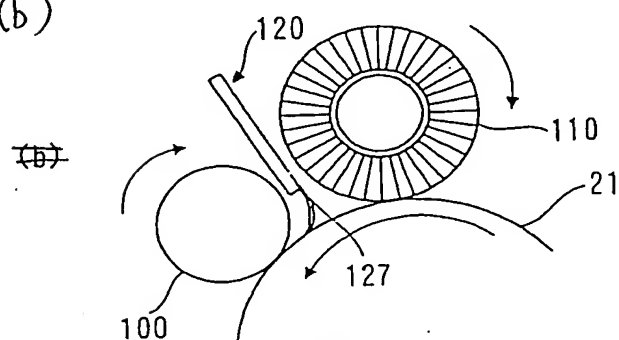
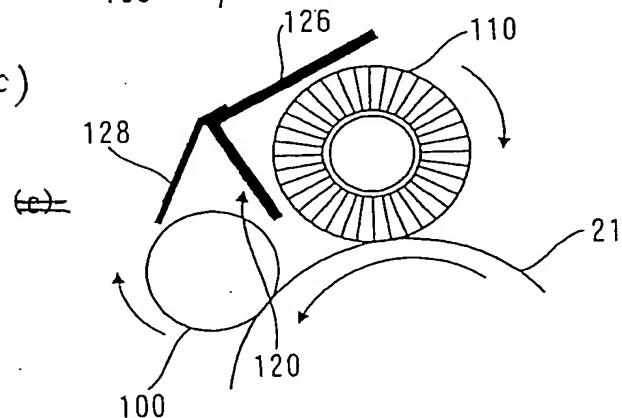


FIG. 28(c)



28/32

FIG. 29(a)

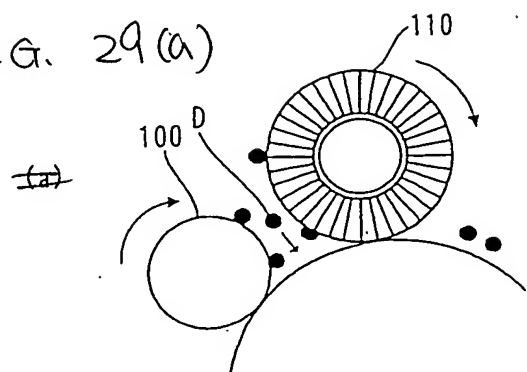


FIG. 29(b)

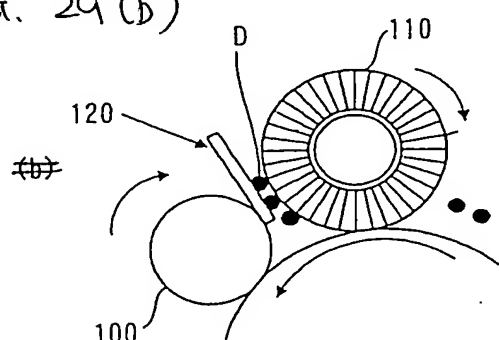
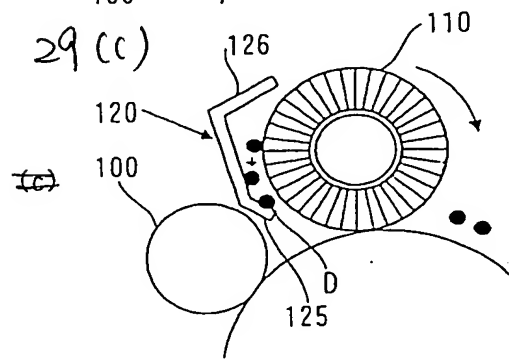
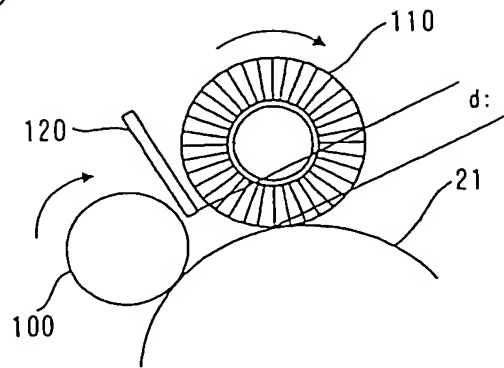


FIG. 29(c)



29/32

FIG. 30



contact

d (mm)	斑点発生 有無
0 (接触)	○
0.5	○
1.0	○
2.0	○
3.0	○
4.0	×

Occurrence of spot

30/32

FIG. 3

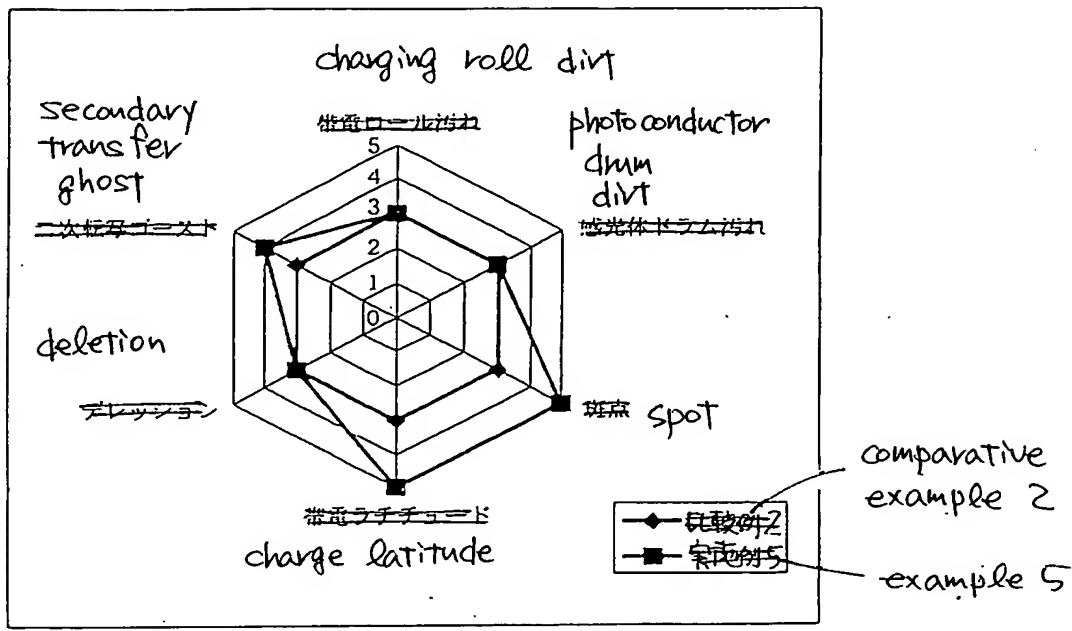


FIG. 32

31/32

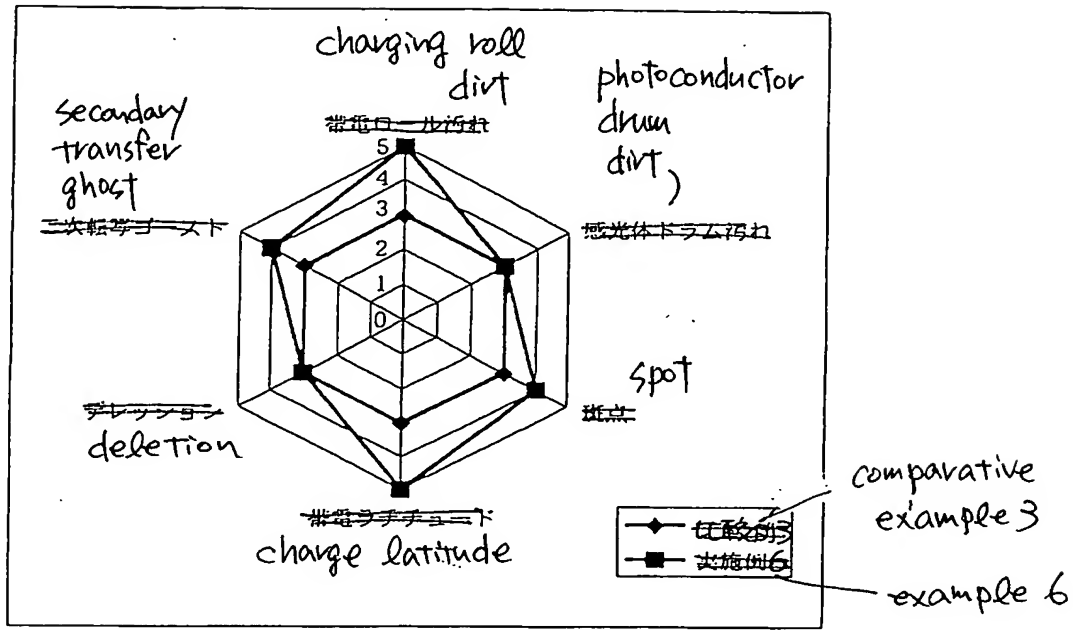


FIG.33

